

基于卫星观测的大气甲烷排放估算

从全球趋势到区域热点

张羽中

中国大气环境科学与技术大会 2020. 12. 8

致谢



Harvard

Daniel Jacob, Jianxiong Sheng, Xiao Lu, Tia Scarpelli, Daniel Varon, Lu Shen, Zhen Qu, Hannah Nesser



EDF

Ritesh Gautam, Mark Omara, Daniel Zavala-Araiza, David Lyon

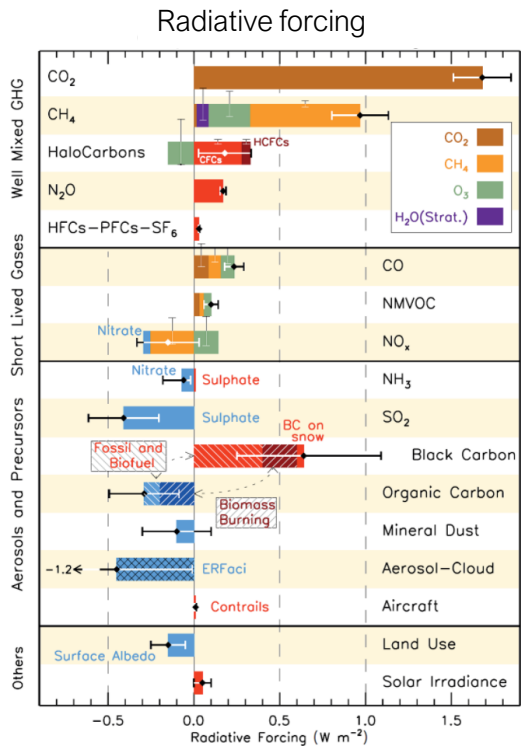


JPL John Worden, Anthony Bloom, Shuang Ma



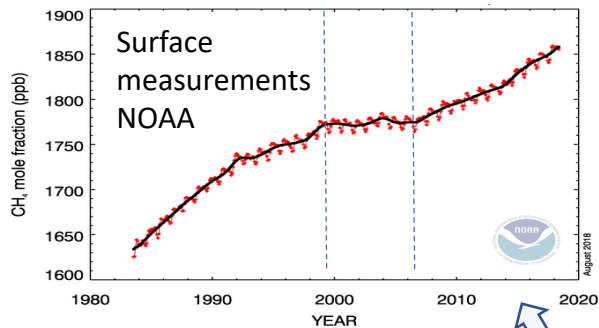
SRON Ilse Aben, Bram Maasackers, Sudhanshu Pandey

温室气体甲烷

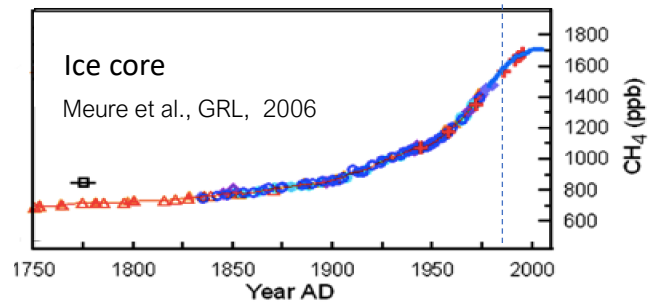


IPCC AR5

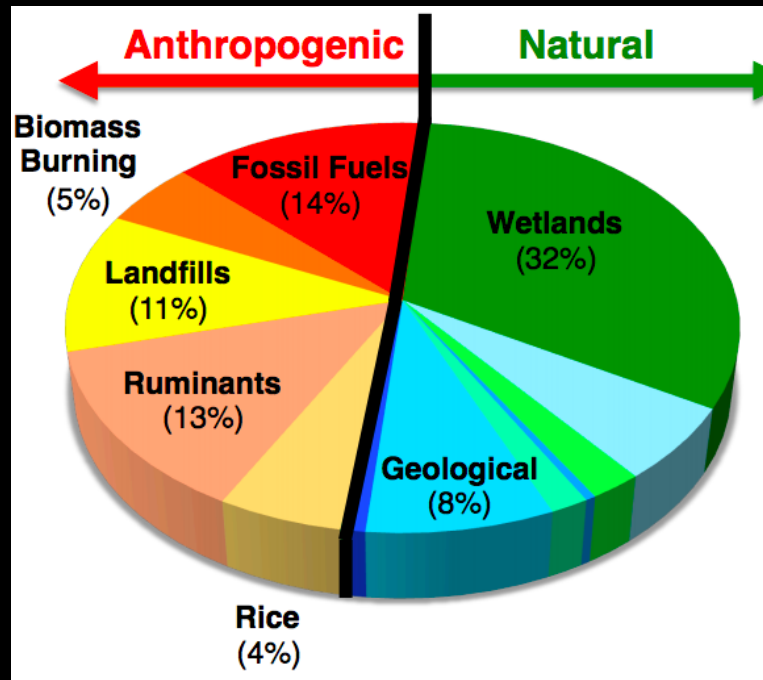
Methane concentration in last 35 years



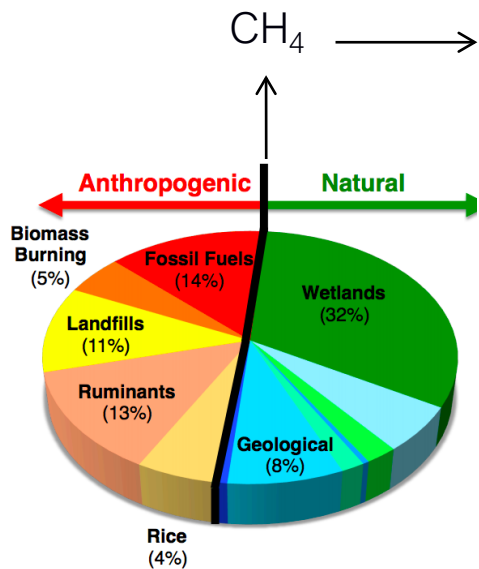
Methane concentration in last 300 years



大气甲烷的源



大气甲烷的汇



源

$550 \pm 60 \text{ Tg a}^{-1}$

汇
大气寿命约10年

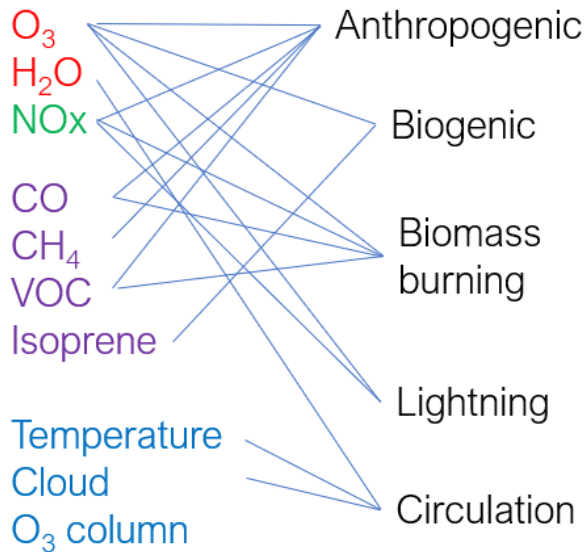
Tropospheric OH
89%

Soil Absorption

Stratospheric Loss

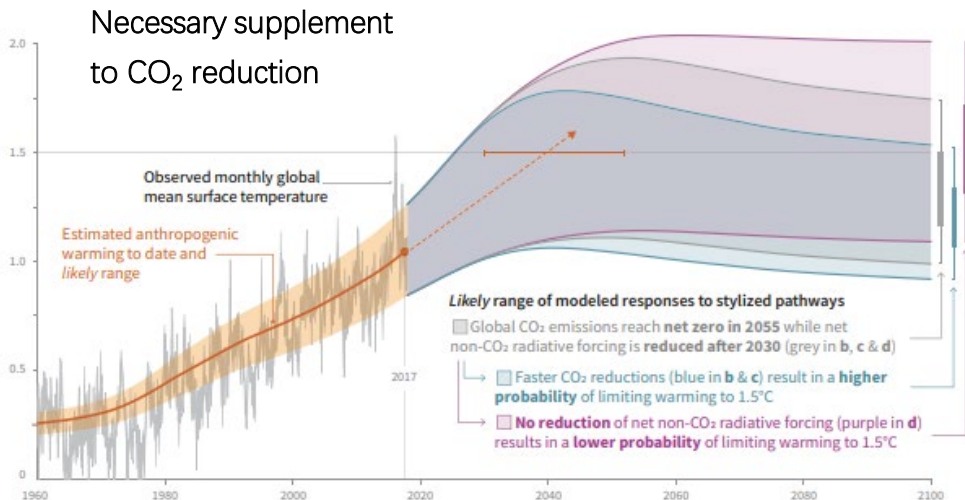
Tropospheric Cl

影响OH浓度的因素



甲烷减排的必要性和可行性

必要性

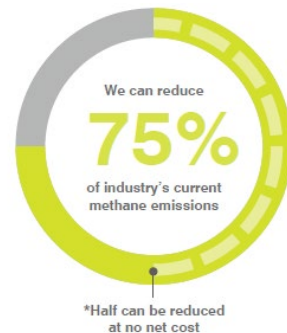


IPCC, 2018

可行性

能源行业甲烷减排有较高的可行性:

- 天然气经济价值
- 已有的技术手段
- 现有的法律架构



*According to the International Energy Agency



政府



油气企业



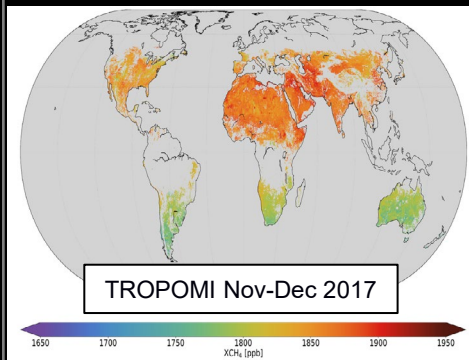
企业+民间+学术界

具有挑战的监测需求

全球覆盖

世界每个角落的排放
都贡献气候变化

国家/全球尺度

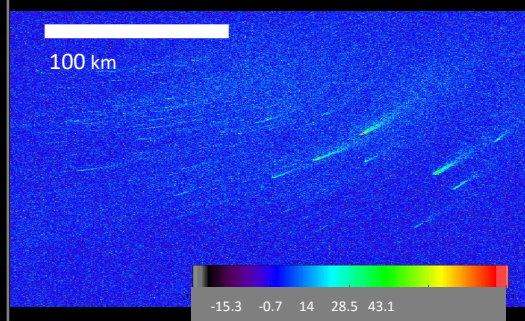


5-10 km 分辨率

不同时空尺度信息整合

全球收支、国家盘点、区域/
行业热点、设施维修

区域/盆地尺度

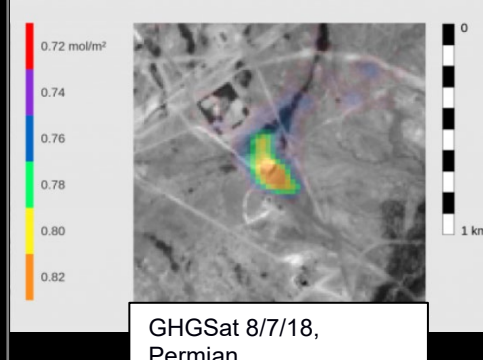


~500-1000 m 分辨率

源监测

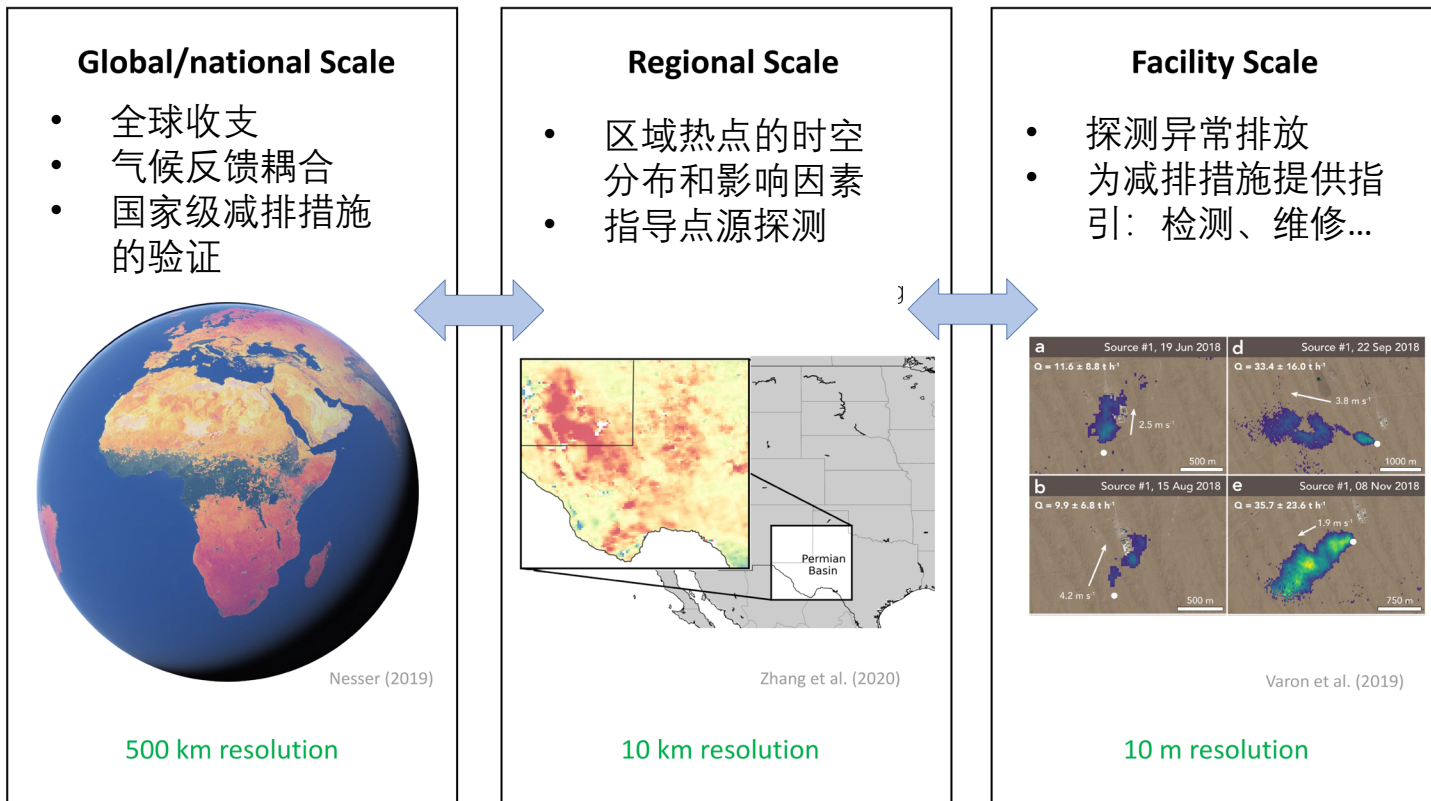
源数量多、种类多
绝对量较小、但波动很大

设施尺度

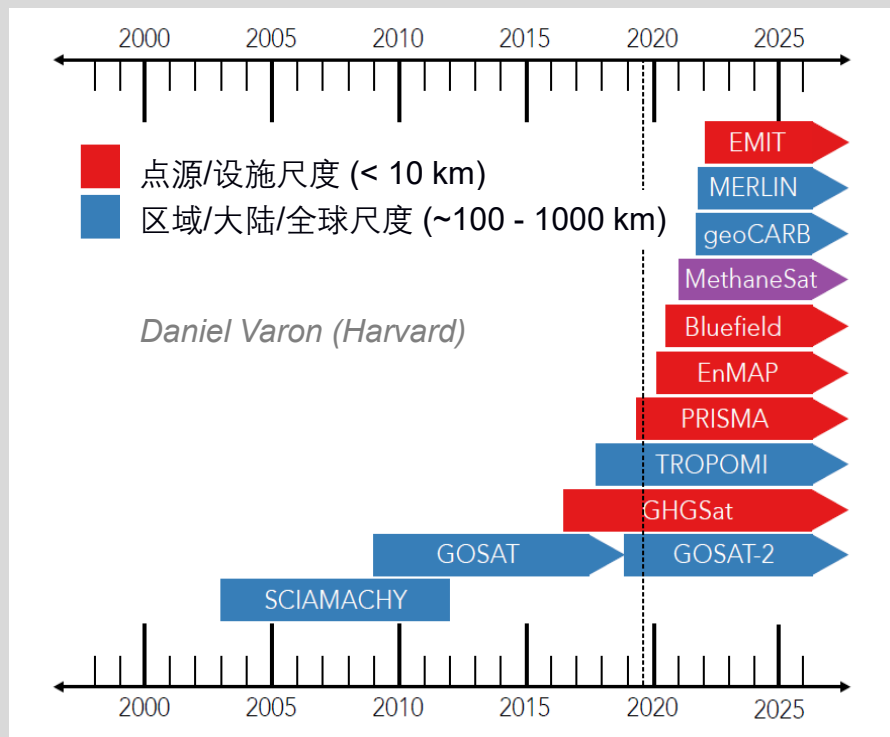
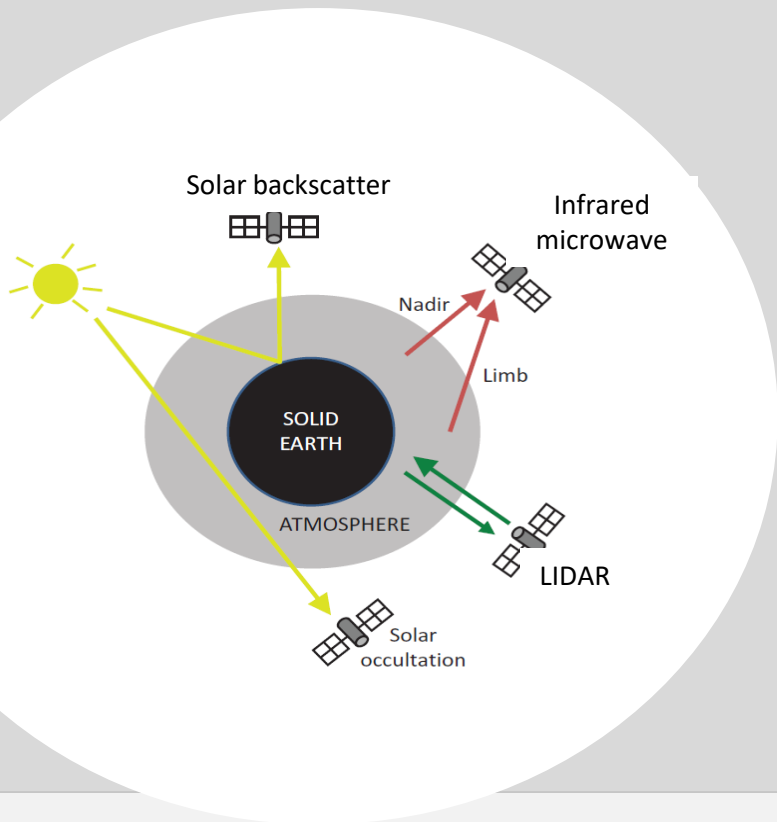


~10 m 分辨率

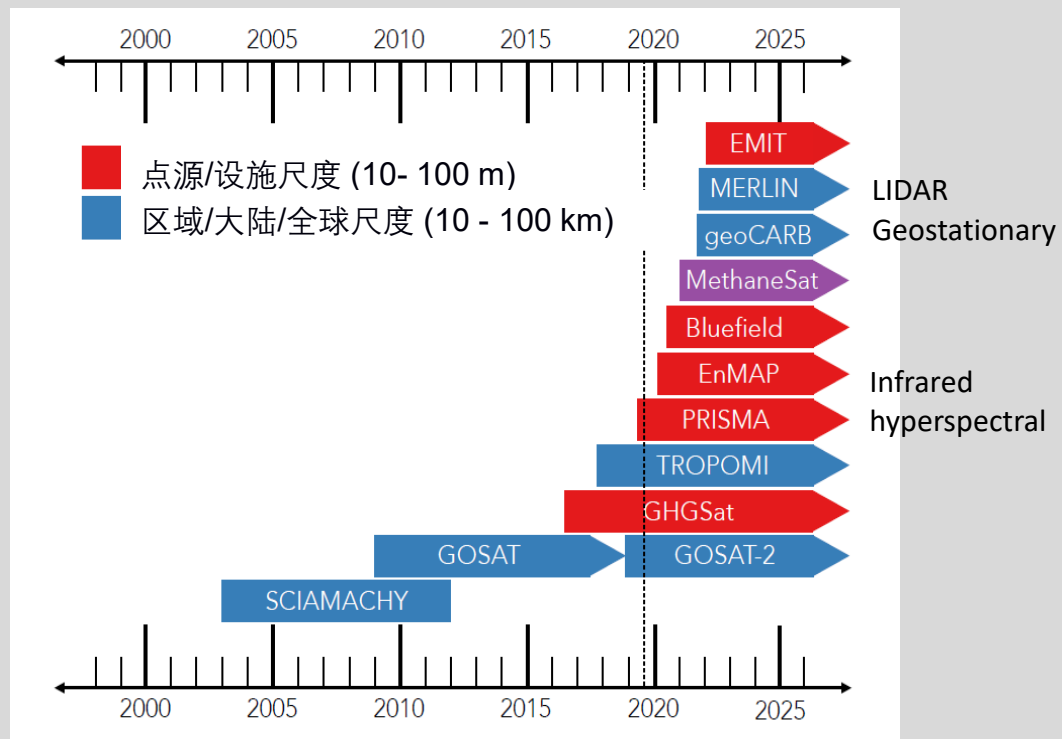
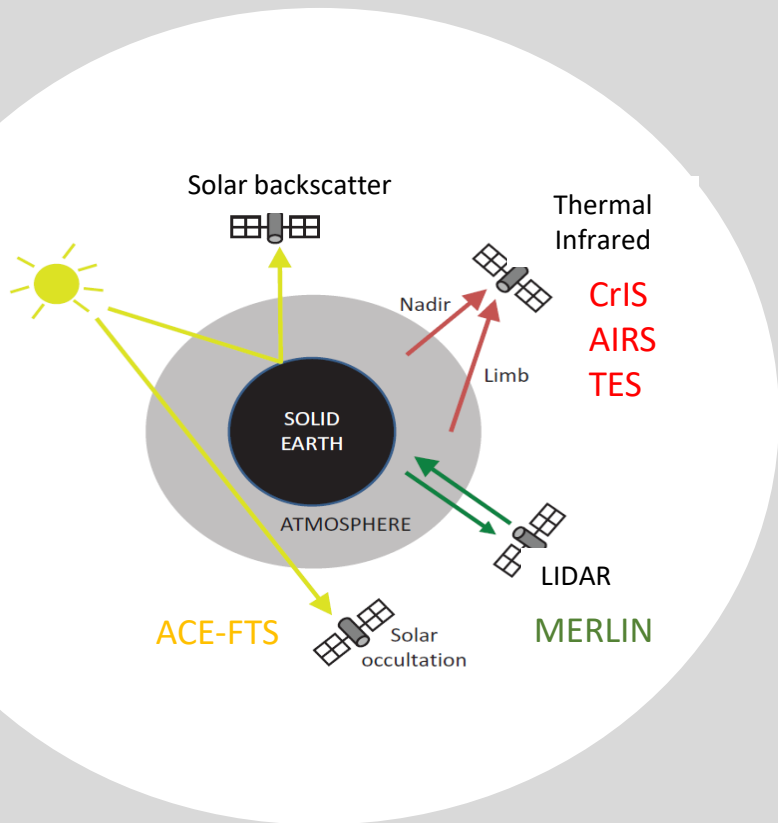
甲烷的科学问题：从全球到区域到点源



发展迅速的卫星观测能力



迅速发展的卫星观测能力



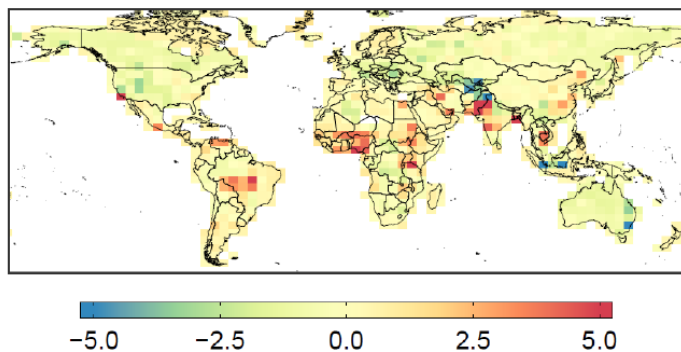
Daniel Varon, Harvard

大气甲烷：从全球收支到区域热点

Global

2010-2018全球大气甲烷收支

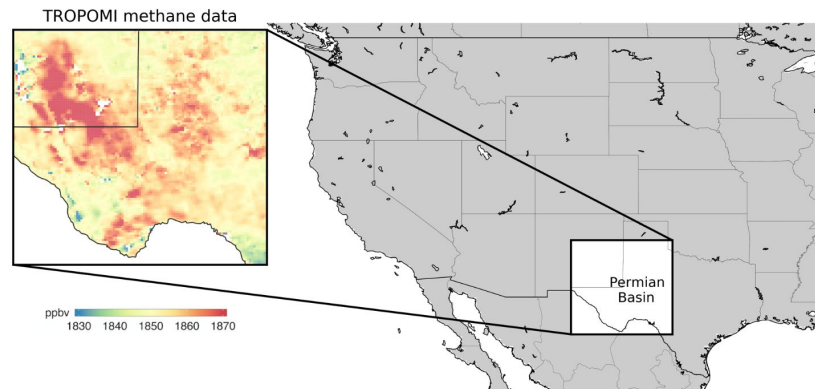
2010-2018 emission trends (% a⁻¹)



Zhang et al., 2020; Lu et al., 2020; Maasakkers et al., 2019; Zhang et al., 2018

Regional

美国最大油气盆地甲烷排放量估计



Zhang et al., Sci. Adv., 2020;
Zhang et al., GRL, 2019

什么因素驱动了大气甲烷的浓度变化？

Atmospheric constraints

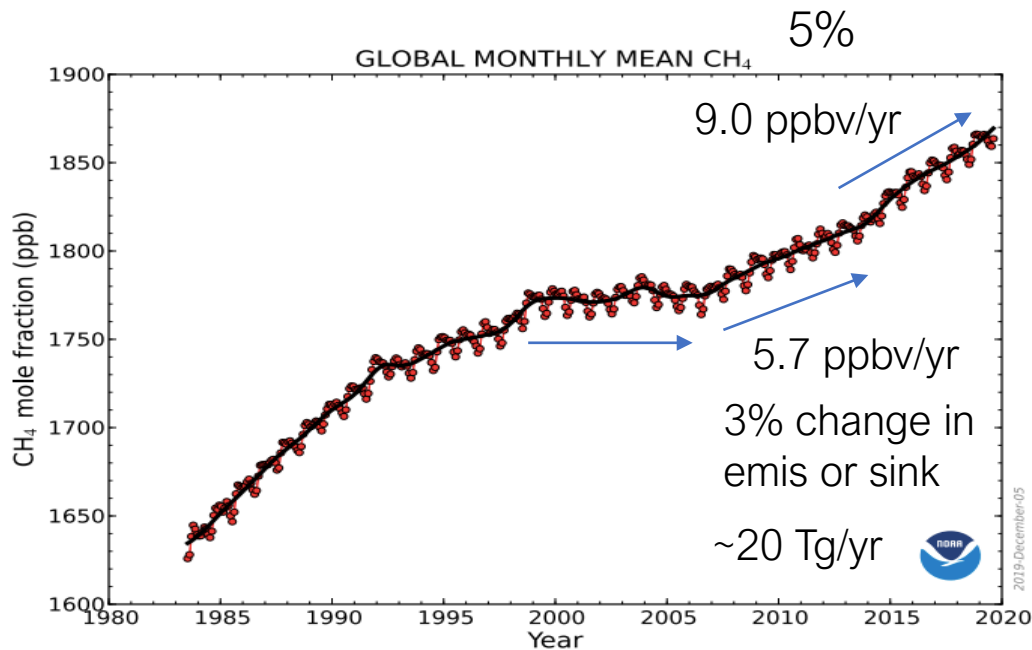
Surface network

Ethane

$\delta^{13}\text{CH}_4$

Satellite

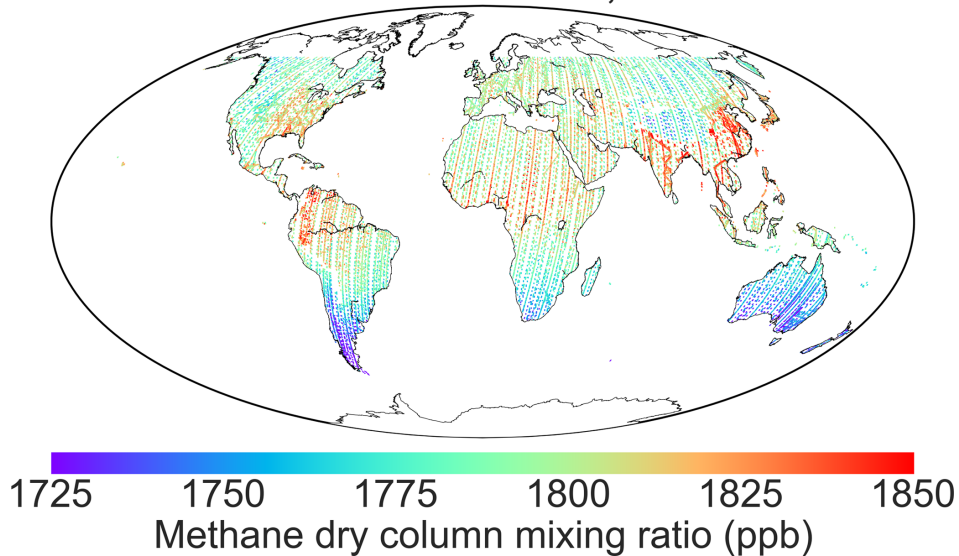
CH_3CCl_3



覆盖全球的卫星观测是否蕴含更多信息？

Mean GOSAT methane, 2010–2015

GOSAT
Satellite



Maasakkers et al., ACP, 2019

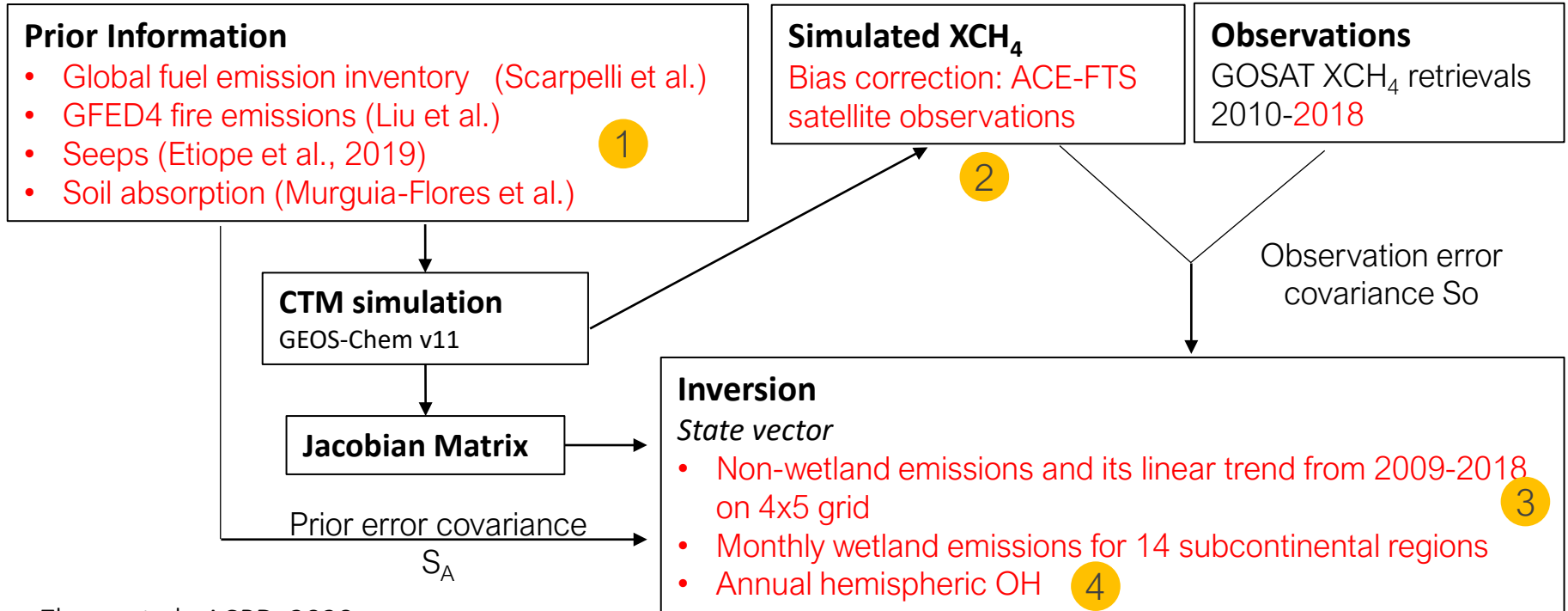
卫星数据的反演分析

1 Best available prior information

2 Improved stratospheric bias correction

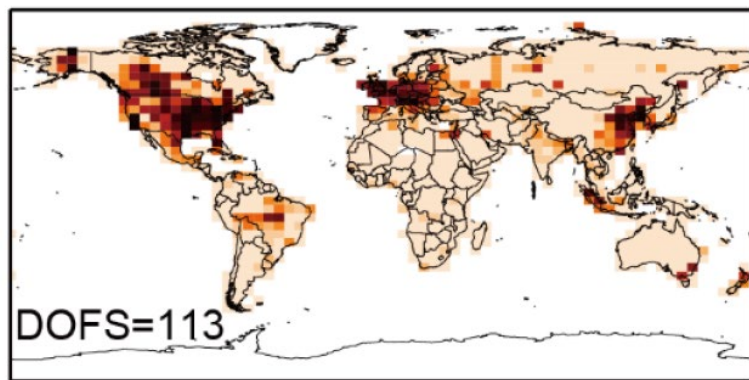
3 Better treatment for wetland emissions

4 Annual hemispheric OH

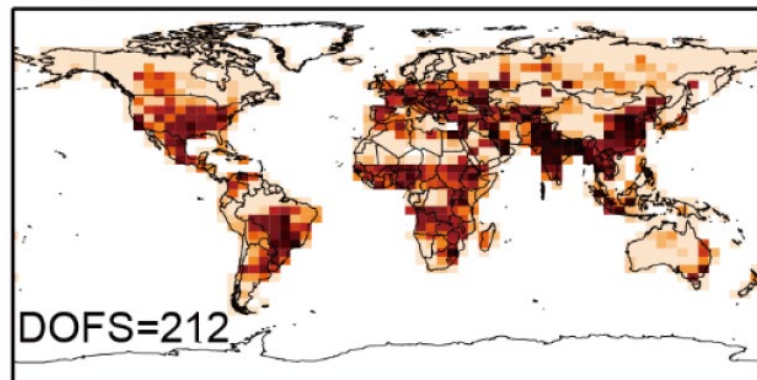


卫星观测对估算南半球排放尤其重要

观测所蕴含的信息量

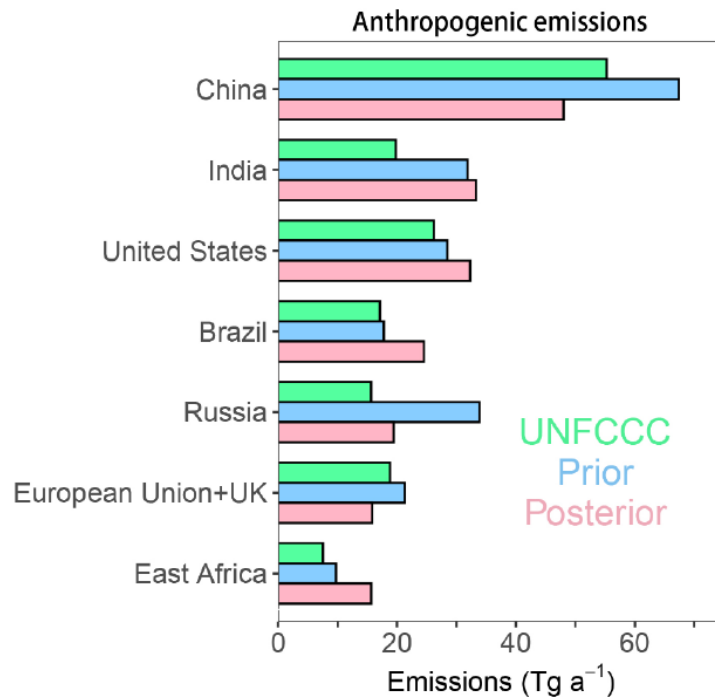
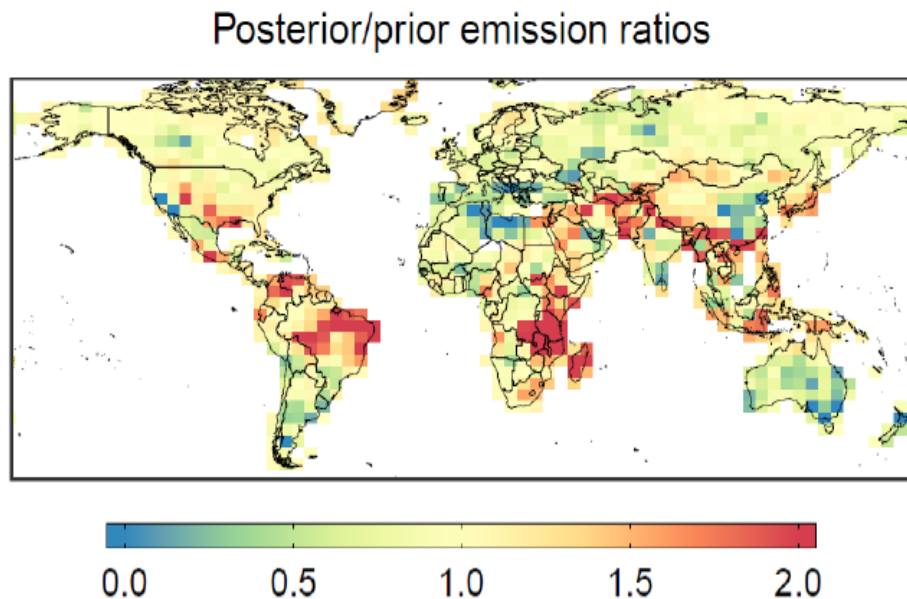


地面站点



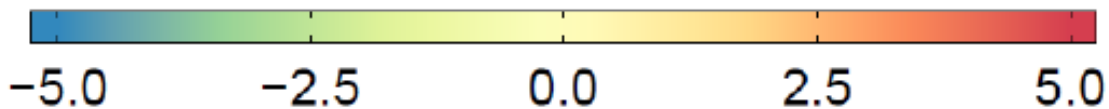
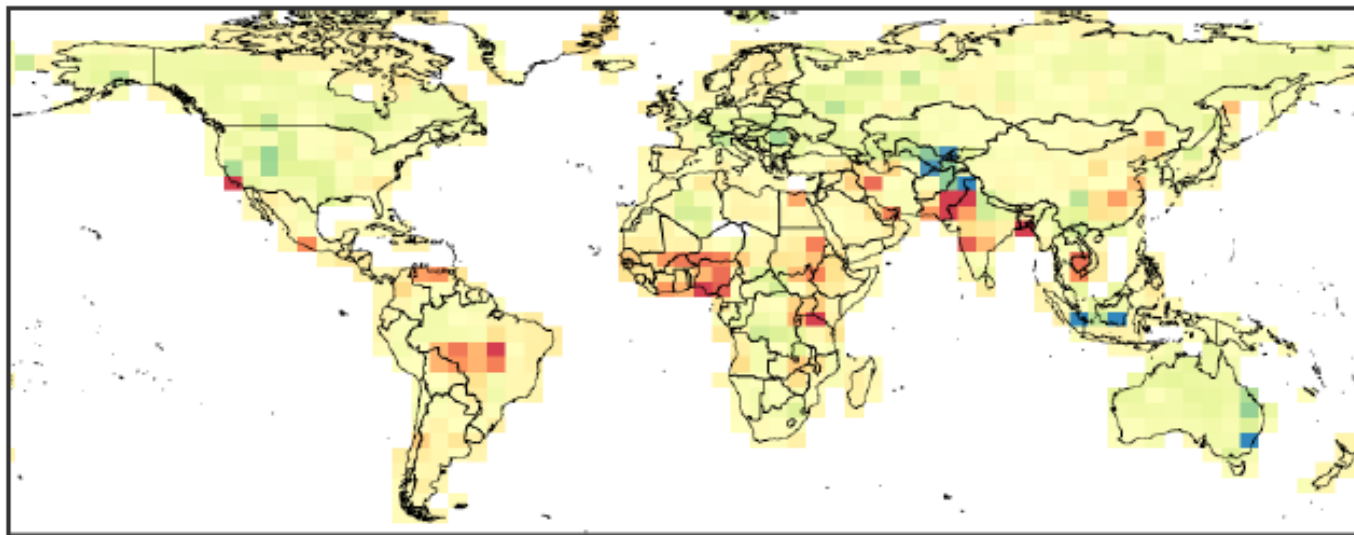
卫星观测

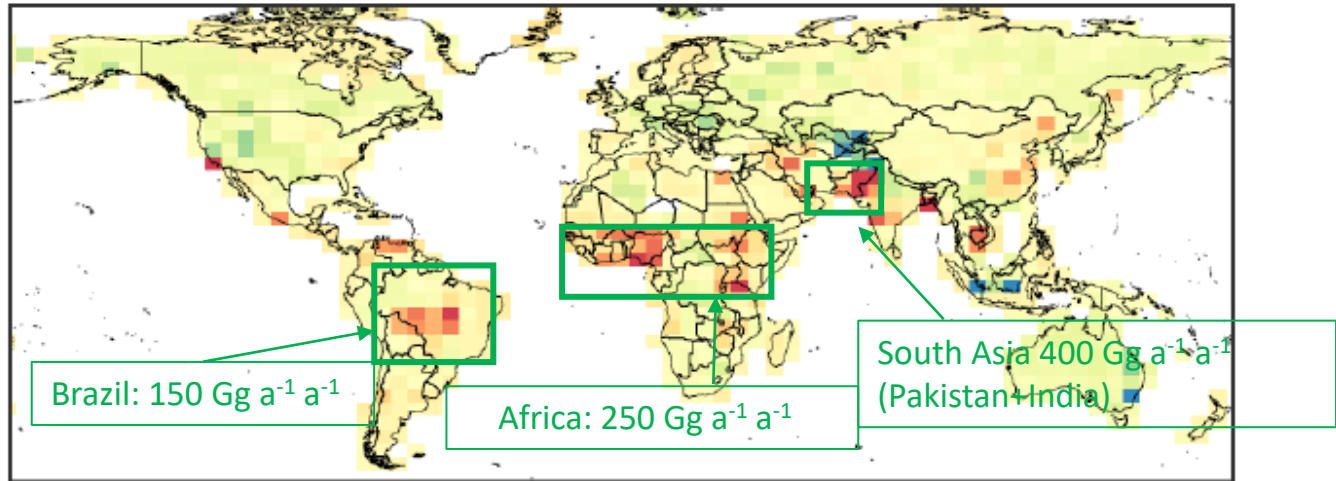
全球2010–2018 GOSAT反演：人为源排放



全球2010–2018 GOSAT反演：人为源排放趋势

2010–2018 emission trends ($\% \text{ a}^{-1}$)





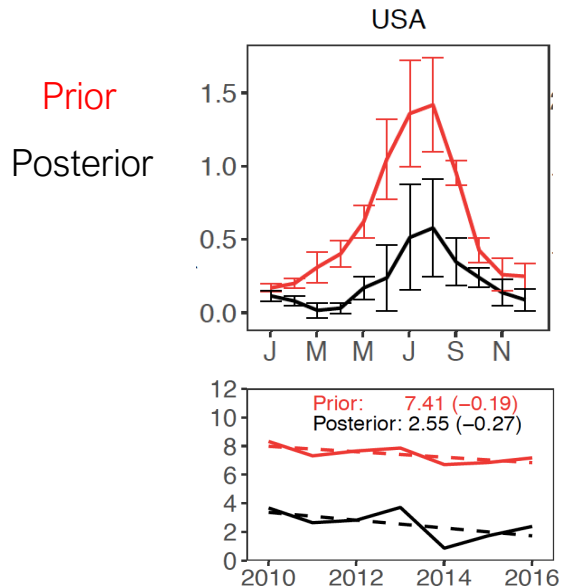
Top 5 countries with fastest growing cattle population

UNFAO

Country	Trend (million head per year)
Pakistan	1.4
Ethiopia	1.2
Tanzania	1.1
Brazil	0.9
Argentina	0.7

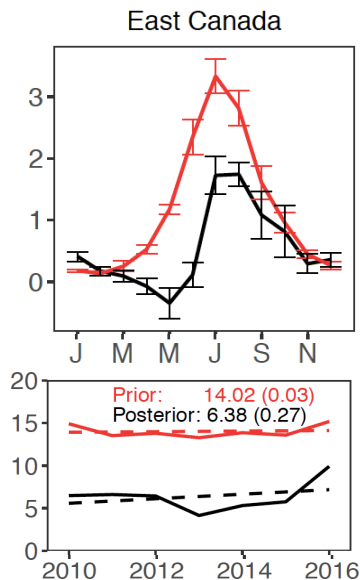
全球2010–2018 GOSAT反演：湿地源和OH汇

湿地排放



SEAC⁴RS

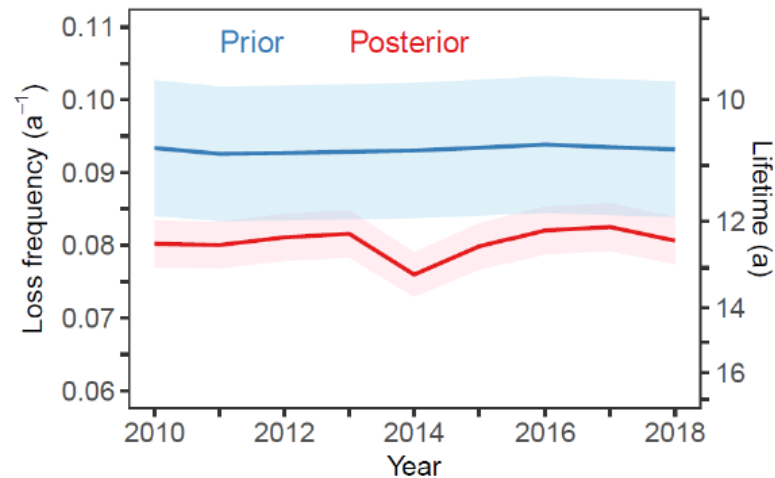
Sheng et al., ACP, 2018



(ECCC)Surface

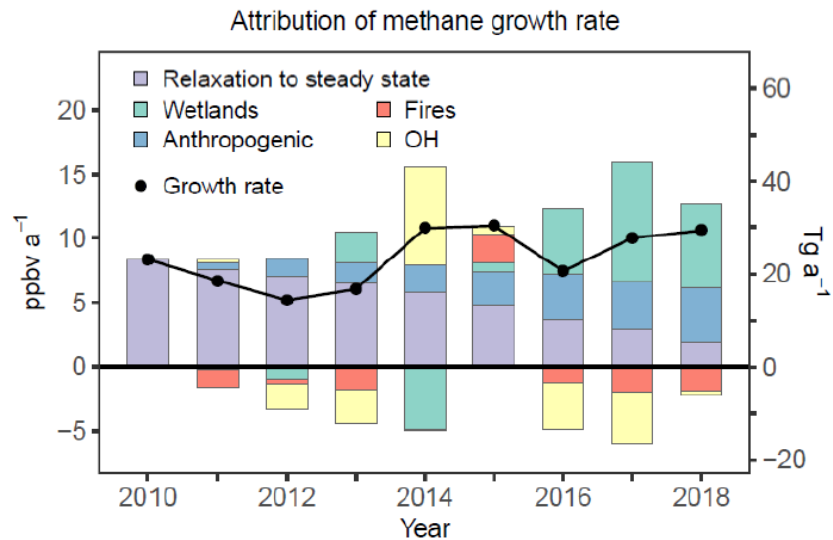
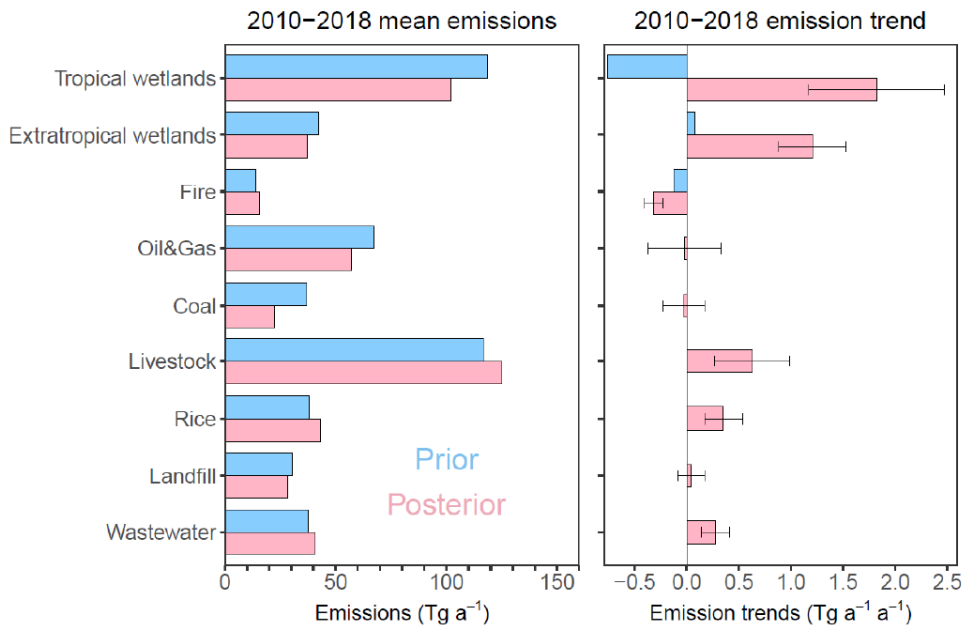
Baray et al., AGU, 2019

全球 OH 浓度



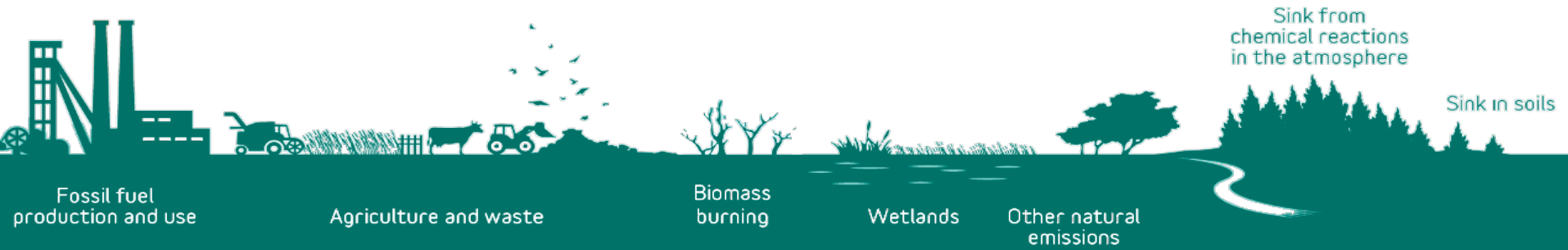
Zhang et al., ACPD, 2020

全球2010–2018甲烷收支变化的归因



全球大气甲烷收支

- 卫星观测以及反演分析可对全球大气甲烷的源（分布、趋势）和汇提供有用信息，特别是地表观测覆盖稀疏的南半球。
- 2010-2018年期间，湿地源和牲畜源排放的增加是大气甲烷浓度增长的最主要驱动因素。OH汇和野火排放的变异，也对2014-2015的极端增长事件有贡献。

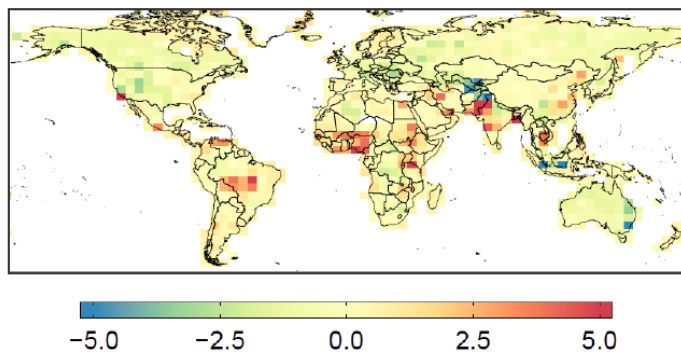


大气甲烷：从全球收支到区域热点

Global

2010-2018全球大气甲烷收支

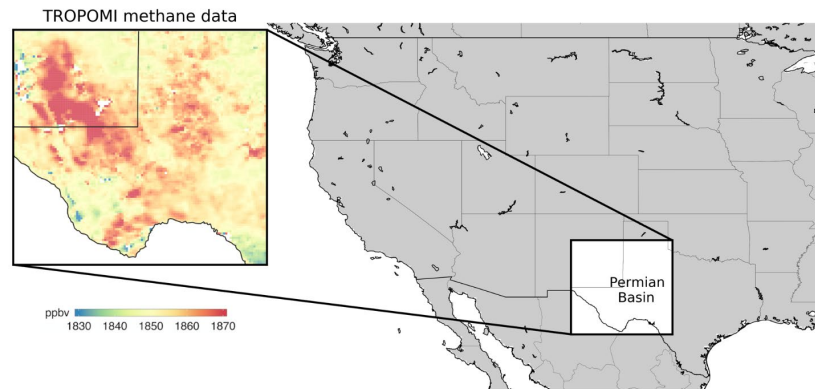
2010-2018 emission trends (% a⁻¹)



Zhang et al., 2020; Lu et al., 2020; Maasakkers et al., 2019; Zhang et al., 2018

Regional

美国最大油气盆地甲烷排放量估计



Zhang et al., Sci. Adv., 2020;
Zhang et al., GRL, 2019

美国二叠纪盆地甲烷排放

Zhang et al., Science Advances, 2020

Permian 盆地：美国最大油气生产盆地，但其甲烷排放缺少“自上而下”的观测数据

REPORT

Assessment of methane emissions from the U.S. oil and gas supply chain

Ramón A. Alvarez^{1,2}, Daniel Zavala-Araiza¹, David R. Lyon¹, David T. Allen², Zachary R. Barkley³, Adam R. Brandt⁴, Kenneth J. Dav...

• See all authors and affiliations

Science 13 Jul 2018
Vol. 361, Issue 6396, pp. 186-188
DOI: 10.1126/science.aar7204

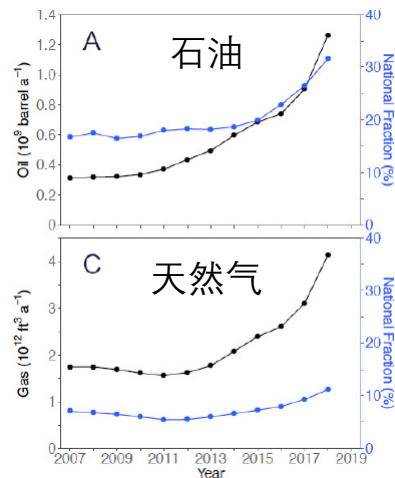


Alvarez et al., Science, 2018

Permian Basin

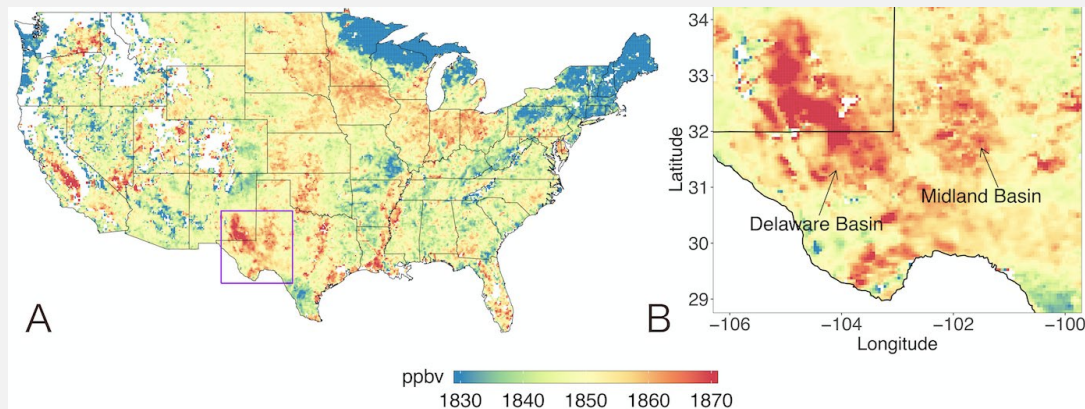


Oil & gas production



TROPOMI 卫星分析美国Permian盆地油气甲烷排放

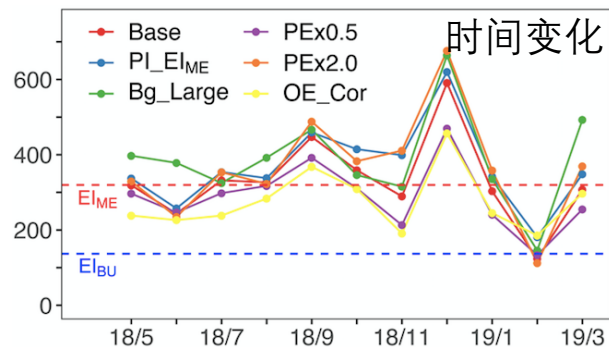
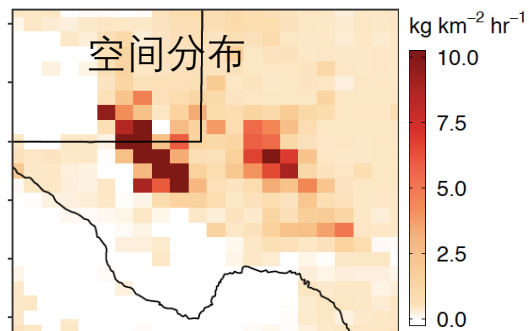
甲烷浓度
TROPOMI
5/2018-3/2019



求解
逆问题

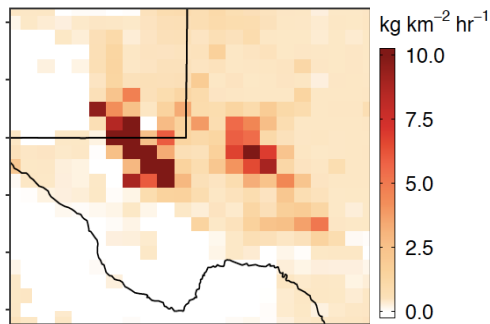
甲烷排放通量

Zhang et al., Science
Advances, 2020

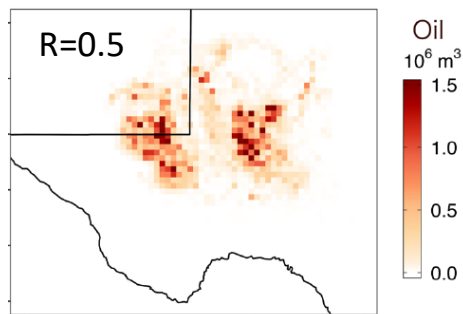


甲烷排放的空间分布

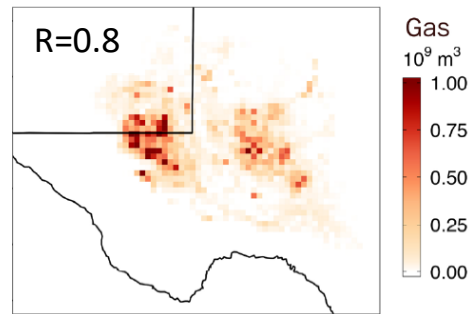
TROPOMI反演



石油产量

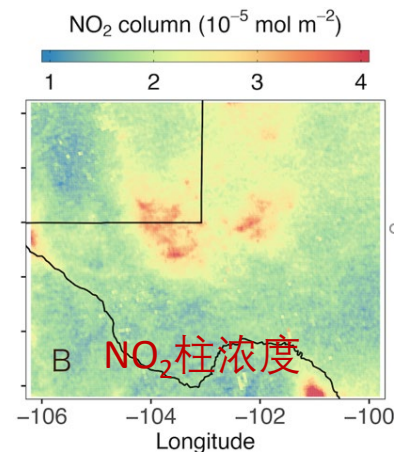
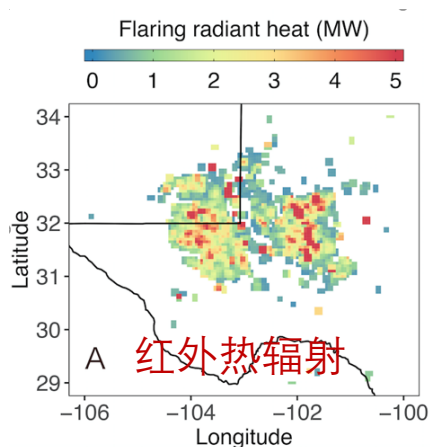


天然气产量



Gas flaring in oil & gas fields

大量的火炬燃烧提示
Permian盆地可能欠缺天然
气处理能力

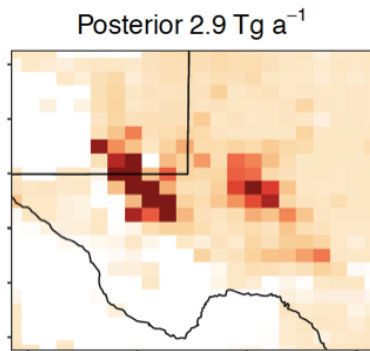


多种方法估计美国二叠纪盆地甲烷排放

基于TROPOMI数据

Atmospheric inverse modeling

0.25x0.3125 GEOS-Chem nested
Yuzhong Zhang (Westlake)



Mass balance method

Sudhanshu Pandey (SRON)
--> $3.2 \pm 2.0 \text{ Tg a}^{-1}$

基于少量地面观测外推

Site-level measurement extrapolation emission inventory

71 site-level measurements

Mark Omara (EDF)

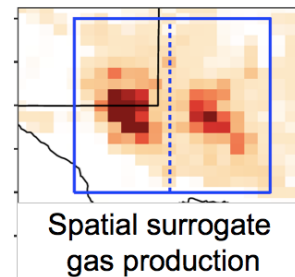
基于EPA排放清单

Bottom-up emission inventory

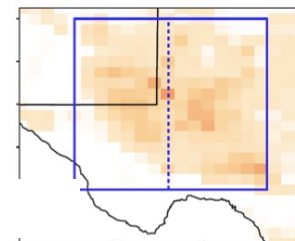
Extrapolation of EPA gridded
inventory to 2018 DI info for O&G

Bram Maasackers (SRON)

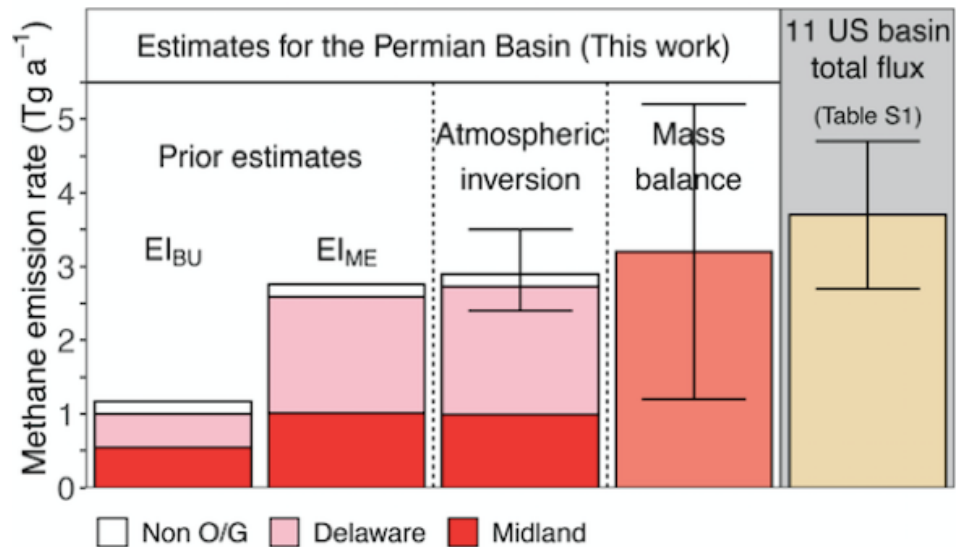
Prior $EI_{ME} 2.8 \text{ Tg a}^{-1}$



Prior $EI_{BU} 1.2 \text{ Tg a}^{-1}$



迄今报道的甲烷排放量最大的油气盆地



>2x higher than bottom-up estimate

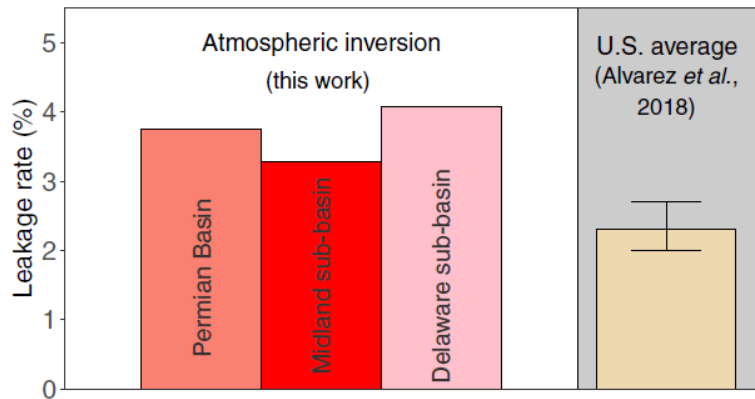
4x higher than Eagle Ford -- the largest flux reported in literature

超过美国平均水平的泄漏率

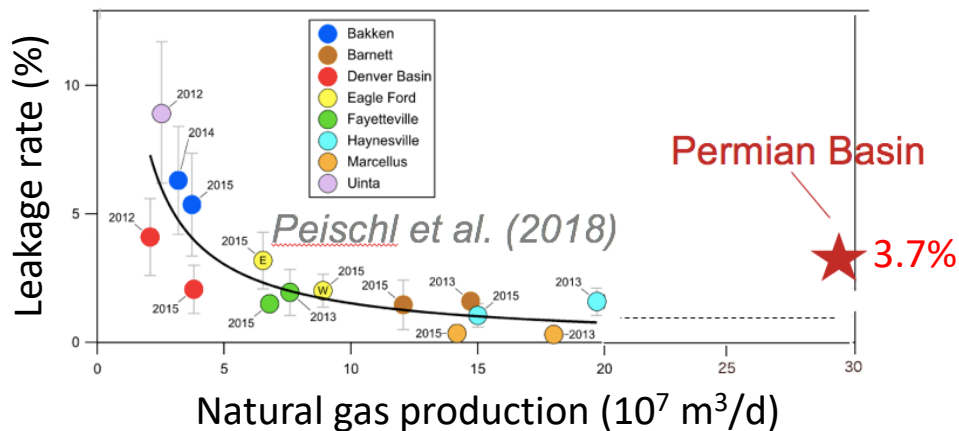
泄漏率=甲烷排放量/ (天然气生产量*天然气甲烷含量比例)

Leakage rate

with respect to gas production



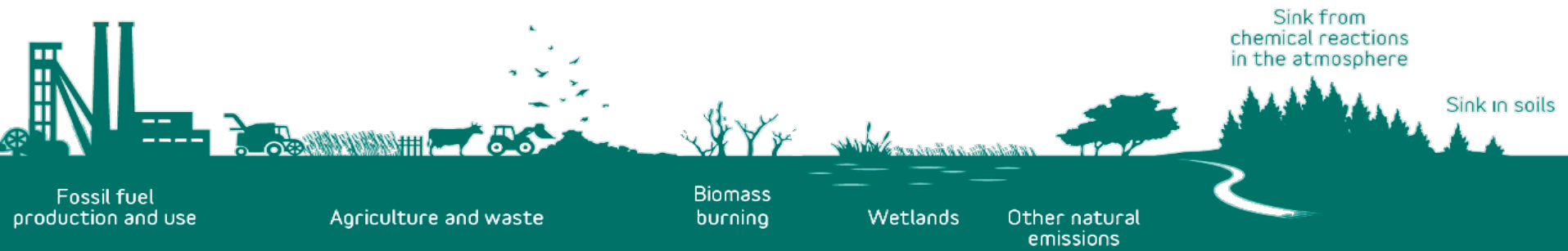
Leakage rate vs gas production



High gas production & high leakage rate indicates low efficiency in gas utilization

区域甲烷排放热点

- 利用TROPOMI甲烷观测，定量估计了Permian Basin（美国最大油气生产盆地）的甲烷排放通量 ($\sim 2.7 \text{ Tg a}^{-1}$)；此排放通量大于任何文献报道的单一盆地的排放估计，是用EPA清单方法估计的2倍；
- 可能反映了油气生产过程中（因为经济原因）天然气处理设施的滞后；
- 其它气体的卫星观测（如 NO_2 、 SO_2 ）能为火炬燃烧等导致温室气体排放的过程提供独立信息。



谢谢！请大家提问及指正！